



EMPLA AG spol. s r. o.



Ekologické laboratoře EMPLA

Zkušební laboratoř č. 1110 akreditovaná ČIA podle ČSN EN ISO/IEC 17025:2018

Fyzikální laboratoř

Za Škodovkou 305, 503 11 Hradec Králové, fax: 495218875, tel.: 495218875, e-mail: empla@empla.cz

Počet stran: 24

Strana 1

Počet příloh: 2

PROTOKOL O ZKOUŠCE č. F 122/2019

Měření hluku v mimopracovním prostředí

Všechny výsledky se týkají pouze předmětu měření. Laboratoř neodpovídá za informace dodané zákazníkem. Bez písemného souhlasu Ekologických laboratoří EMPLA nelze protokol reprodukovat jinak než celý.

POŽADAVEK NA MĚŘENÍ: Měření hluku ze silniční dopravy

OBJEDNÁVKA Č. 136/2019

ARCH. Č. 260/2019

ZÁKAZNÍK: PRODIN a.s.
Jiráskova 169
530 02 Pardubice

DATUM MĚŘENÍ: 3. – 4. 4. 2019 a 15. – 16. 4. 2019

MÍSTO MĚŘENÍ: Vybraný chráněný venkovní prostor staveb u silnice II/299 v úseku Librantice – hranice okresu Náchod

DATUM VYSTAVENÍ: 1. 6. 2019

DRUH ZKOUŠKY: Akreditovaná zkouška

ZKUŠEBNÍ METODA: SOP F3 (Měření hluku v mimopracovním prostředí)

MĚŘENÍ PROVEDL: Bc. Radomír Škoda, Bc. Martin Hetfleiš

VYPRACOVAL: Bc. Radomír Škoda, Bc. Martin Hetfleiš

VEDOUcí FYZ. LAB.: Ing. Michal Rejl

VEDOUcí EKOL. LAB.: Ing. Stanislav Eminger, CSc.



V Hradci Králové dne 1. 6. 2019

Schválil:

EMPLA AG spol. s r.o. ©
Za Škodovkou 305
503 11 Hradec Králové
IČO: 25996240 DIČ: CZ25996240
Tel.: 495 218 875

Ing. Michal Rejl
Vedoucí fyzikální laboratoře

1. ÚVOD

Na základě objednávky č. 136/2019 si společnost PRODIN a.s., Jiráskova 169, 530 02 Pardubice objednává 24 h měření hluku ze silniční dopravy ve vybraném chráněném venkovním prostoru staveb u silnice II/299 v úseku Librantice – hranice okresu Náchod.

2. MĚŘENÍ

2.1 ÚDAJE O MĚŘENÍ

Doba měření: od 06⁰⁰ h dne 3. 4. 2019 do 06⁰⁰ h dne 4. 4. 2019
a od 22⁰⁰ h dne 15. 4. 2019 do 22⁰⁰ h dne 16. 4. 2019

Měřené hodnoty: hladiny akustického tlaku A, charakteristika Fast

Meteorologické podmínky (3. – 4. 4. 2019):

čas (h:min.)	06:00	11:00	17:00	01:00
teplota vzduchu (°C)	11	15	18	12
relativní vlhkost vzduchu (%)	68	51	43	62
barometrický tlak (hPa)	1007	1006	1004	1003
proudění vzduchu (m.s ⁻¹)	< 1	< 2	< 3	< 2
směr větru	JZ	JZ	JZ	J
oblačnost	polojasno	polojasno	polojasno	polojasno
výskyt srážek	ne	ne	ne	ne
stav terénu	suchý	suchý	suchý	suchý

Měření meteorologických podmínek probíhalo v blízkosti měřicího místa č. 1, výška sondy byla 3 m nad terénem.

Meteorologické podmínky (15. – 16. 4. 2019):

čas (h:min.)	22:00	04:00	10:00	16:00
teplota vzduchu (°C)	10	5	10	16
relativní vlhkost vzduchu (%)	42	64	50	32
barometrický tlak (hPa)	1023	1022	1022	1021
proudění vzduchu (m.s ⁻¹)	< 2	< 1	< 2	< 3
směr větru	J	J	JV	V
oblačnost	polojasno	polojasno	polojasno	polojasno
výskyt srážek	ne	ne	ne	ne
stav terénu	suchý	suchý	suchý	suchý

Měření meteorologických podmínek probíhalo v blízkosti měřicího místa č. 4, výška sondy byla 3 m nad terénem.

Pro měření klimatických podmínek byla použita meteorologická stanice Conrad Electronic WH2080 výrobní č. 2017/18 (číslicový tlakoměr, anemometr miskový - sondy jsou kalibrovány u ČMI Brno, teploměr s vlhkoměrem – sondy jsou kalibrovány u M&B Calibr, spol. s r.o., Ivančice).

2.2 ZKUŠEBNÍ METODA

Měření bylo provedeno dle SOP F3 v souladu s předpisy:

ČSN ISO 1996 – 1 (datum vydání 1. 2. 2017) Akustika – Popis, měření a hodnocení hluku prostředí - Část 1: Základní veličiny a postupy pro hodnocení

ČSN ISO 1996 – 2 (datum vydání 1. 9. 2018) Akustika – Popis, měření a hodnocení hluku prostředí - Část 2: Určování hladin akustického tlaku

Věstník MZ ČR, částka 11 (18. října 2017), Metodický návod pro měření a hodnocení hluku v mimopracovním prostředí.

2.3 POUŽITÉ PŘEDPISY

Zákon č. 258/2000 Sb. o ochraně veřejného zdraví a o změně některých souvisejících zákonů, ve znění pozdějších předpisů.

Nařízení vlády č. 272/2011 Sb. "O ochraně zdraví před nepříznivými účinky hluku a vibrací", ve znění pozdějších předpisů.

2.4 MĚŘÍCÍ PŘÍSTROJE

název	výrobní číslo	platnost kalibrace / ověření
zvukoměr CESVA SC310	T232566	07. 03. 2021
mikrofon CESVA C-130	11205	07. 03. 2021
zvukoměr CESVA SC310	T233786	13. 01. 2021
mikrofon CESVA C-130	13495	13. 01. 2021
zvukoměr CESVA SC310	T240349	13. 01. 2021
mikrofon CESVA C-130	11396	13. 01. 2021
kalibrátor CESVA CB006	901124	12. 09. 2019

Přístroje jsou ověřeny u ČMI Praha. Zvukoměr vyhovuje třídě přesnosti 1, ve smyslu normy ČSN EN 61672-1 ed. 2, ČSN EN 61672-2 ed. 2, a ČSN EN 60 804.

Před a po skončení měření byla měřicí aparatura kontrolována kalibrátorem, v odečtu hodnot nebyl seznán rozdíl.

3. NAMĚŘENÉ HODNOTY

3.1 POPIS ZDROJE HLUKU A PROSTŘEDÍ

Měření bylo provedeno za účelem zjištění hladiny akustického tlaku A v chráněném venkovním prostoru staveb, vyvolané hlukem ze silniční dopravy na silnici II/299 v úseku Librantice – hranice okresu Náchod.

TAB. 1 Popis zdroje hluku a prostředí

lokalita	severovýchodní část okresu Hradec Králové, Královéhradecký kraj
měřené zdroje hluku	silniční doprava na silnici II/299 v úseku Librantice – hranice okresu Náchod
umístění	<ul style="list-style-type: none"> • silnice vede obcemi Librantice, Výrava, Libřice • po obou stranách silnice se nacházejí chráněné venkovní prostory staveb (rodinné domy)
parametry silnice	<ul style="list-style-type: none"> • 2 dopravní pruhy • šířka silnice cca 6 m • povrch vozovky živice (částečně poškozen)
doba provozu	denní a noční doba
terén	odrazivý, rovinný
hlukové pozadí	vzdálená silniční doprava, letecká doprava a ostatní zdroje hluku nesouvisející s měřeným zdrojem hluku (lidské hlasy, domácí zvířectvo a podobně)
zbytkový hluk	zdroje hluku, které nešly z měření spolehlivě vyloučit (vzdálená silniční doprava)

3.2 PODMÍNKY MĚŘENÍ

TAB. 2 Podmínky měření

režim provozu měřených zdrojů hluku	v době měření nebyla na silnici žádná uzávěra, po celou dobu měření odpovídal provoz na všech silnicích v posuzované lokalitě standardu
hlukové pozadí	měřeno v časovém úseku, kdy byl hluk ze silniční dopravy snížen na minimum (použita distribuční hladina L_{A90})
měřené hodnoty	hladiny akustického tlaku A
počet měřících míst	5 měřících míst
doba měření	24 hod (denní a noční doba)
nastavení zvukoměru	odpovídalo povaze a charakteru hluku, záznam po 1 sekundě
umístění mikrofону	<ul style="list-style-type: none"> - mikrofón byl se zvukoměrem propojen mikrofónním kabelem - mikrofón byl umístěn na stativu a byl opatřen krytem proti větru tak, že osa mikrofónu směřovala kolmo k silnici II/299
klimatické podmínky	konstantní klimatické podmínky viz 2.1 Údaje o měření

TAB. 3 Objem silniční dopravy na silnici II/299 v době měření (v blízkost RD č.p. 83, Librantice)

měřicí místo	doba	osobní vozidla	nákladní vozidla	nákladní vozidla s návěsem	autobusy	motocykly	celkem
1	denní 06 – 22 h	1743	228	54	24	21	2070
	noční 22 – 06 h	91	11	5	4	0	111
průměrná rychlost (km/h)	denní 06 – 22 h	54	51			42	-
	noční 22 – 06 h	59	53			-	-

TAB. 4 Objem silniční dopravy na silnici II/299 v době měření (v blízkost RD č.p. 58, Librantice)

měřicí místo	doba	osobní vozidla	nákladní vozidla	nákladní vozidla s návěsem	autobusy	motocykly	celkem
2	denní 06 – 22 h	1316	173	81	0	14	1584
	noční 22 – 06 h	83	8	5	0	0	96
průměrná rychlost (km/h)	denní 06 – 22 h	51	43			49	-
	noční 22 – 06 h	51	40			-	-

TAB. 5 Objem silniční dopravy na silnici II/299 v době měření (úsek Librantice – Výrava)

měřicí místo	doba	osobní vozidla	nákladní vozidla	nákladní vozidla s návěsem	autobusy	motocykly	celkem
úsek mezi m.m. 2 a m.m. 3	denní 06 – 22 h	1365	164	87	0	14	1630
	noční 22 – 06 h	73	8	5	0	0	86
průměrná rychlost (km/h)	denní 06 – 22 h	78	68			67	-
	noční 22 – 06 h	79	72			-	-

Pro měření rychlosti vozidel byl použit radarový detektor pro analýzu silničního provozu Sierzega SR 4.

TAB. 6 Objem silniční dopravy na silnici II/299 v době měření (v blízkost RD č.p. 117, Výrava)

měřicí místo	doba	osobní vozidla	nákladní vozidla	nákladní vozidla s návěsem	autobusy	motocykly	celkem
3	denní 06 – 22 h	1411	151	70	0	14	1646
	noční 22 – 06 h	83	6	4	0	0	93
průměrná rychlost (km/h)	denní 06 – 22 h	55	50			52	-
	noční 22 – 06 h	60	51			-	-

TAB. 7 Objem silniční dopravy na silnici II/299 v době měření (v blízkost RD č.p. 95, Libřice)

měřicí místo	doba	osobní vozidla	nákladní vozidla	nákladní vozidla s návěsem	autobusy	motocykly	celkem
4	denní 06 – 22 h	1445	347	145	19	15	1971
	noční 22 – 06 h	73	14	7	4	0	98
průměrná rychlost (km/h)	denní 06 – 22 h	40	31			49	-
	noční 22 – 06 h	41	32			-	-

TAB. 8 Objem silniční dopravy na silnici II/299 v době měření (v blízkost RD č.p. 74, Libřice)

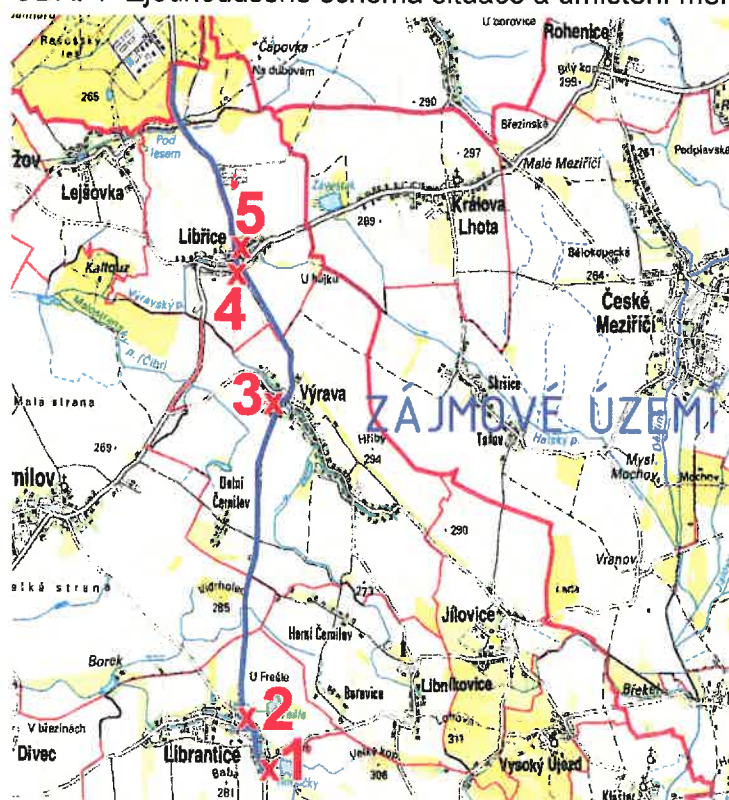
měřicí místo	doba	osobní vozidla	nákladní vozidla	nákladní vozidla s návěsem	autobusy	motocykly	celkem
5	denní 06 – 22 h	2202	368	267	0	28	2865
	noční 22 – 06 h	132	23	17	0	0	172
průměrná rychlost (km/h)	denní 06 – 22 h	60	55			56	-
	noční 22 – 06 h	61	54			-	-

Pro měření rychlosti vozidel byl použit radarový detektor pro analýzu silničního provozu Sierzega SR 4.

TAB. 9 Umístění měřicích míst

měřicí místo	umístění	výška
chráněný venkovní prostor staveb		
1	<u>rodinný dům č.p. 83, 503 46 Librantice</u> (na pozemku p.č. st. 34/1 v k.ú. Librantice [683485]) – 2 m od západní fasády domu (od středu zavřeného okna obytného pokoje) – vzdálenost osy silnice k chráněné fasádě domu 11,5 m	2,5 m
2	<u>rodinný dům č.p. 58, 503 46 Librantice</u> (na pozemku p.č. st. 50/1 v k.ú. Librantice [683485]) – 2 m od západní fasády domu (od středu zavřeného okna obytného pokoje) – vzdálenost osy silnice k chráněné fasádě domu 11,0 m	2,5 m
3	<u>rodinný dům č.p. 117, 503 03 Výrava</u> (na pozemku p.č. st. 97/2 v k.ú. Výrava [787671]) – 2 m od jihovýchodní fasády domu (od středu zavřeného okna obyt. pokoje) – vzdálenost osy silnice k chráněné fasádě domu 18,0 m	3,0 m
4	<u>rodinný dům č.p. 95, 503 44 Libřice</u> (na pozemku p.č. st. 58/2 v k.ú. Libřice [683493]) – 2 m od východní fasády domu (od středu zavřeného okna obyt. pokoje) – vzdálenost osy silnice k chráněné fasádě domu 12,0 m	2,5 m
5	<u>rodinný dům č.p. 74, 503 44 Libřice</u> (na pozemku p.č. st. 82 v k.ú. Libřice [683493]) – 2 m od západní fasády domu (od středu zavřeného okna obytného pokoje) – vzdálenost osy silnice k chráněné fasádě domu 7,5 m	2,5 m

OBR. 1 Zjednodušené schéma situace a umístění měřicích míst

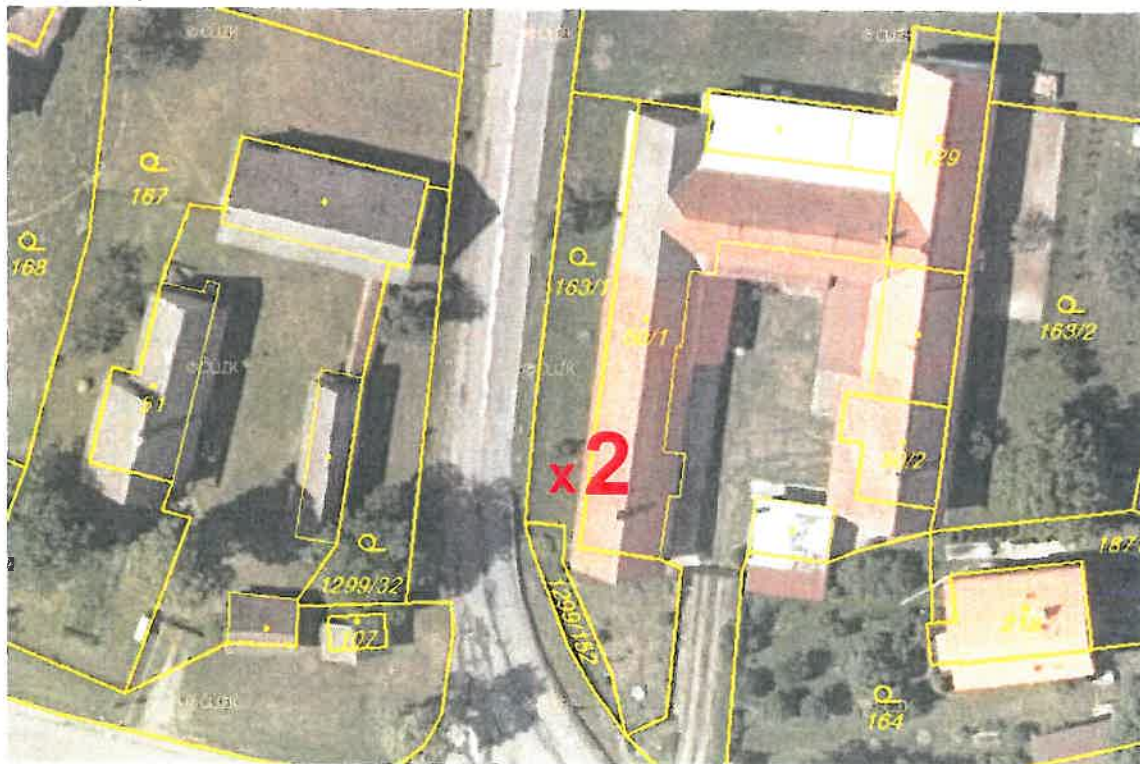


x – měřicí místo číslo X

OBR. 2 Zjednodušené schéma situace a umístění měřicího místa č. 1



OBR. 3 Zjednodušené schéma situace a umístění měřicího místa č. 2



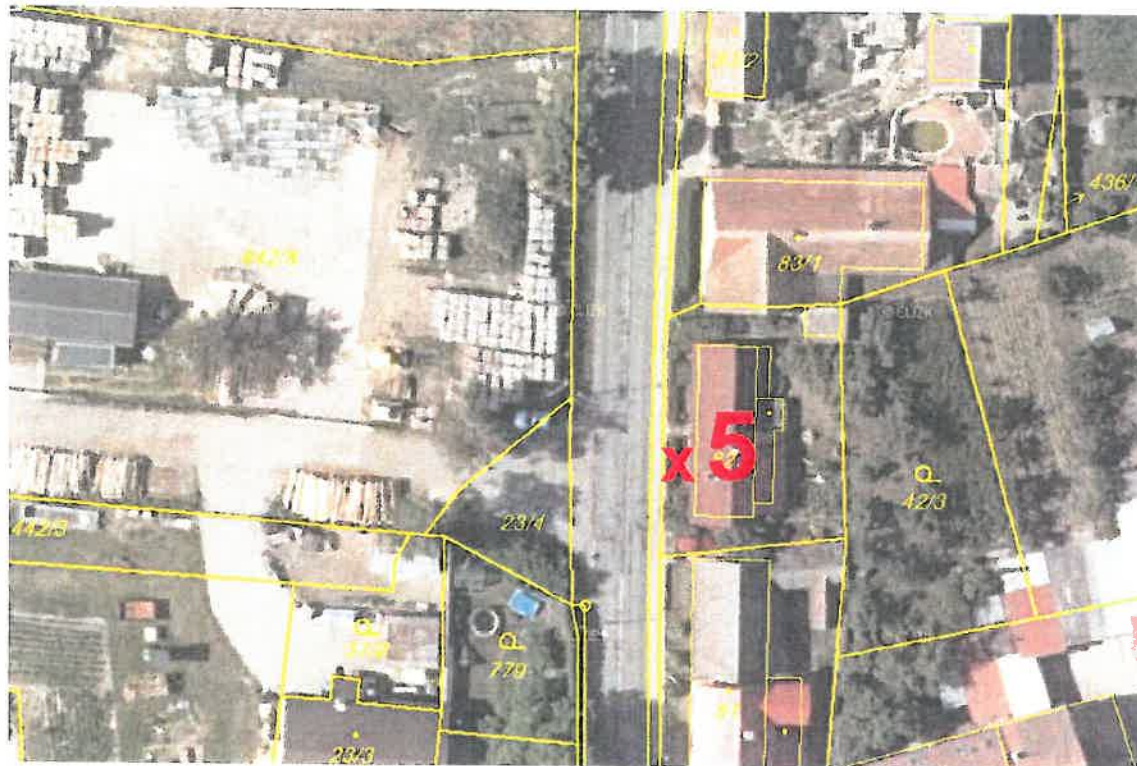
OBR. 4 Zjednodušené schéma situace a umístění měřicího místa č. 3



OBR. 5 Zjednodušené schéma situace a umístění měřicího místa č. 4



OBR. 6 Zjednodušené schéma situace a umístění měřicího místa č. 5



3.3 ZMĚŘENÉ HLADINY AKUSTICKÉHO TLAKU

Měřicí místo č. 1 rodinný dům č.p. 83, 503 46 Librantice – 2 m od fasády domu

umístění	viz TAB. 9, OBR. 1 a OBR. 2								
měřené zdroje hluku	<ul style="list-style-type: none">- přilehlá silniční doprava na silnici II/299- vzdálená silniční doprava, která nešla z měření spolehlivě vyloučit								
zdroje hluku vyloučené z měření	<ul style="list-style-type: none">- letecká doprava- ostatní zdroje hluku nesouvisející s měřeným zdrojem hluku (lidské hlasy, domácí zvířectvo a podobně)								
charakter hluku	proměnný								
NAMĚŘENÉ HODNOTY									
doba měř. [hodin]	L _{Aeq,T} [dB]	L _{Amin} [dB]	L _{Amax} [dB]	L _{Cmaxp} [dB]	L _{A 99} [dB]	L _{A 90} [dB]	L _{A 50} [dB]	L _{A 10} [dB]	L _{A 1} [dB]
DENNÍ DOBA (od 06 do 22 h dne 3. 4. 2019)									
16	59,8	25,8	78,8	102,8	30,4	38,6	49,3	64,5	70,8
NOČNÍ DOBA (od 22 do 06 h dne 3. – 4. 4. 2019)									
8	49,3	23,0	76,2	94,3	24,1	27,2	33,4	45,9	63,9

Měřicí místo č. 2 rodinný dům č.p. 58, 503 46 Librantice – 2 m od fasády domu

umístění	viz TAB. 9, OBR. 1 a OBR. 3								
měřené zdroje hluku	<ul style="list-style-type: none">- přilehlá silniční doprava na silnici II/299- vzdálená silniční doprava, která nešla z měření spolehlivě vyloučit								
zdroje hluku vyloučené z měření	<ul style="list-style-type: none">- letecká doprava- ostatní zdroje hluku nesouvisející s měřeným zdrojem hluku (lidské hlasy, domácí zvířectvo a podobně)								
charakter hluku	proměnný								
NAMĚŘENÉ HODNOTY									
doba měř. [hodin]	L _{Aeq,T} [dB]	L _{Amin} [dB]	L _{Amax} [dB]	L _{Amaxp} [dB]	L _{A 99} [dB]	L _{A 90} [dB]	L _{A 50} [dB]	L _{A 10} [dB]	L _{A 1} [dB]
DENNÍ DOBA (od 06 do 22 h dne 3. 4. 2019)									
16	58,3	25,7	79,7	102,1	30,0	38,0	48,7	62,4	69,6
NOČNÍ DOBA (od 22 do 06 h dne 3. – 4. 4. 2019)									
8	47,9	22,3	72,2	93,8	23,1	25,9	31,1	43,8	62,5

Měřicí místo č. 3 rodinný dům č.p. 117, 503 03 Výrava – 2 m od fasády domu

umístění	viz TAB. 9, OBR. 1 a OBR. 4								
měřené zdroje hluku	<ul style="list-style-type: none">- přilehlá silniční doprava na silnici II/299- vzdálená silniční doprava, která nešla z měření spolehlivě vyloučit								
zdroje hluku vyloučené z měření	<ul style="list-style-type: none">- letecká doprava- ostatní zdroje hluku nesouvisející s měřeným zdrojem hluku (lidské hlasy, domácí zvířectvo a podobně)								
charakter hluku	proměnný								
NAMĚŘENÉ HODNOTY									
doba měř. [hodin]	L _{Aeq,T} [dB]	L _{Amin} [dB]	L _{Amax} [dB]	L _{Cmaxp} [dB]	L _{A 99} [dB]	L _{A 90} [dB]	L _{A 50} [dB]	L _{A 10} [dB]	L _{A 1} [dB]
DENNÍ DOBA (od 06 do 22 h dne 3. 4. 2019)									
16	56,1	29,9	77,1	99,6	34,7	40,7	51,8	60,9	64,6
NOČNÍ DOBA (od 22 do 06 h dne 3. – 4. 4. 2019)									
8	43,9	25,6	69,8	88,9	26,5	29,4	36,0	45,1	57,3

Měřicí místo č. 4 rodinný dům č.p. 95, 503 44 Libřice – 2 m od fasády domu

umístění	viz TAB. 9, OBR. 1 a OBR. 5								
měřené zdroje hluku	<ul style="list-style-type: none">- přilehlá silniční doprava na silnici II/299- vzdálená silniční doprava, která nešla z měření spolehlivě vyloučit								
zdroje hluku vyloučené z měření	<ul style="list-style-type: none">- letecká doprava- ostatní zdroje hluku nesouvisející s měřeným zdrojem hluku (lidské hlasy, domácí zvířectvo a podobně)								
charakter hluku	proměnný								
NAMĚŘENÉ HODNOTY									
doba měř. [hodin]	L _{Aeq,T} [dB]	L _{Amin} [dB]	L _{Amax} [dB]	L _{Cmaxp} [dB]	L _{A 99} [dB]	L _{A 90} [dB]	L _{A 50} [dB]	L _{A 10} [dB]	L _{A 1} [dB]
DENNÍ DOBA (od 06 do 22 h dne 16. 4. 2019)									
16	59,3	22,1	77,6	100,2	28,2	39,3	53,2	64,0	69,5
NOČNÍ DOBA (od 22 do 06 h dne 15. – 16. 4. 2019)									
8	48,3	20,6	71,7	96,7	20,9	22,1	27,1	46,0	62,6

Měřicí místo č. 5 rodinný dům č.p. 74, 503 44 Libřice – 2 m od fasády domu

umístění	viz TAB. 9, OBR. 1 a OBR. 6								
měřené zdroje hluku	<ul style="list-style-type: none">- přilehlá silniční doprava na silnici II/299- vzdálená silniční doprava, která nešla z měření spolehlivě vyloučit								
zdroje hluku vyloučené z měření	<ul style="list-style-type: none">- letecká doprava- ostatní zdroje hluku nesouvisející s měřeným zdrojem hluku (lidské hlasy, domácí zvířectvo a podobně)								
charakter hluku	proměnný								
NAMĚŘENÉ HODNOTY									
doba měř. [hodin]	L _{Aeq,T} [dB]	L _{Amin} [dB]	L _{Amax} [dB]	L _{Cmaxp} [dB]	L _{A 99} [dB]	L _{A 90} [dB]	L _{A 50} [dB]	L _{A 10} [dB]	L _{A 1} [dB]
DENNÍ DOBA (od 06 do 22 h dne 16. 4. 2019)									
16	63,5	22,6	83,9	105,4	25,2	35,3	51,6	68,7	74,4
NOČNÍ DOBA (od 22 do 06 h dne 15. – 16. 4. 2019)									
8	49,6	22,2	75,2	95,1	23,0	23,7	26,9	47,4	64,3

3.4 NEJISTOTA MĚŘENÍ

Nejistota měření pro dané podmínky měření $\varepsilon = 1,7$ dB je stanovena podle Věstníku MZ ČR, částka 11, příloha D (18. října 2017), Metodický návod pro měření a hodnocení hluku v mimopracovním prostředí.

3.5 SHRNUÍ NAMĚŘENÝCH HODNOT $L_{Aeq,T}$ (dB)

DENNÍ DOBA 06 - 22 h

TAB. 10 Naměřené hodnoty $L_{Aeq,T}$, korekce na zbytkový hluk a umístění mikrofonu (měřicí místa č. 1, 2, 3)

číslo měřicího místa			1	2	3
naměřené hodnoty	zdroj	$L_{Aeq,T}$ [dB]	59,8	58,3	56,1
	zbytkový hluk ¹⁾	L_{A90} [dB]	38,6	38,0	40,7
ΔL [dB] rozdíl mezi $L_{Aeq,T}$ zdroje a $L_{Aeq,T}$ zbytkového hluku			21,2	20,3	15,4
K_1 [dB] korekce na zbytkový hluk ²⁾			0,0	0,0	0,0
K_2 [dB] korekce na umístění mikrofonu ³⁾			2,0	2,0	2,0
naměřené hodnoty $L_{Aeq,T}$ [dB] po korekci na zbytkový hluk a umístění mikrofonu $L_{Aeq,16h} = L_{Aeq,T} - K_1 - K_2$			57,8 ± 1,7	56,3 ± 1,7	54,1 ± 1,7

TAB. 11 Naměřené hodnoty $L_{Aeq,T}$, korekce na zbytkový hluk a umístění mikrofonu (měřicí místa č. 4, 5)

číslo měřicího místa			4	5
naměřené hodnoty	zdroj	$L_{Aeq,T}$ [dB]	59,3	63,5
	zbytkový hluk ¹⁾	L_{A90} [dB]	39,3	35,3
ΔL [dB] rozdíl mezi $L_{Aeq,T}$ zdroje a $L_{Aeq,T}$ zbytkového hluku			20,0	28,2
K_1 [dB] korekce na zbytkový hluk ²⁾			0,0	0,0
K_2 [dB] korekce na umístění mikrofonu ³⁾			2,0	2,0
naměřené hodnoty $L_{Aeq,T}$ [dB] po korekci na zbytkový hluk a umístění mikrofonu $L_{Aeq,16h} = L_{Aeq,T} - K_1 - K_2$			57,3 ± 1,7	61,5 ± 1,7

¹⁾ vzhledem k tomu, že hluk vyvolaný měřeným zdrojem hluku (silniční doprava) má nepravidelně proměnný charakter a hluk pozadí, který nejde z měření vyloučit má ustálený charakter, lze za $L_{Aeq,T}$ hluku pozadí považovat distribuční hladinu L_{A90}

²⁾ korekce na zbytkový hluk $K_1 = -10 \log(1 - 10^{-0,1 \Delta L})$, je-li $\Delta L > 10$ dB nekoriguje se

³⁾ korekce na umístění mikrofonu před odrazivým povrchem (dle ČSN ISO 1996-2:2018)

NOČNÍ DOBA 22 - 06 hTAB. 12 Naměřené hodnoty $L_{Aeq,T}$, korekce na zbytkový hluk a umístění mikrofonu (měřicí místa č. 1, 2, 3)

číslo měřicího místa			1	2	3
naměřené hodnoty	zdroj	$L_{Aeq,T}$ [dB]	49,3	47,9	43,9
	zbytkový hluk ¹⁾	L_{A90} [dB]	27,2	25,9	29,4
ΔL [dB] rozdíl mezi $L_{Aeq,T}$ zdroje a $L_{Aeq,T}$ zbytkového hluku			22,1	22,0	14,5
K_1 [dB] korekce na zbytkový hluk ²⁾			0,0	0,0	0,0
K_2 [dB] korekce na umístění mikrofonu ³⁾			2,0	2,0	2,0
naměřené hodnoty $L_{Aeq,T}$ [dB] po korekci na zbytkový hluk a umístění mikrofonu $L_{Aeq,8h} = L_{Aeq,T} - K_1 - K_2$			47,3 ± 1,7	45,9 ± 1,7	41,9 ± 1,7

TAB. 13 Naměřené hodnoty $L_{Aeq,T}$, korekce na zbytkový hluk a umístění mikrofonu (měřicí místa č. 4, 5)

číslo měřicího místa			4	5
naměřené hodnoty	zdroj	$L_{Aeq,T}$ [dB]	48,3	49,6
	zbytkový hluk ¹⁾	L_{A90} [dB]	22,1	23,7
ΔL [dB] rozdíl mezi $L_{Aeq,T}$ zdroje a $L_{Aeq,T}$ zbytkového hluku			26,2	25,9
K_1 [dB] korekce na zbytkový hluk ²⁾			0,0	0,0
K_2 [dB] korekce na umístění mikrofonu ³⁾			2,0	2,0
naměřené hodnoty $L_{Aeq,T}$ [dB] po korekci na zbytkový hluk a umístění mikrofonu $L_{Aeq,8h} = L_{Aeq,T} - K_1 - K_2$			46,3 ± 1,7	47,6 ± 1,7

¹⁾ vzhledem k tomu, že hluk vyvolaný měřeným zdrojem hluku (silniční doprava) má nepravidelně proměnný charakter a hluk pozadí, který nejde z měření vyloučit má ustálený charakter, lze za $L_{Aeq,T}$ hluku pozadí považovat distribuční hladinu L_{A90}

²⁾ korekce na zbytkový hluk $K_1 = -10 \log(1 - 10^{-0,1 \Delta L})$, je-li $\Delta L > 10$ dB nekoriguje se

³⁾ korekce na umístění mikrofonu před odrazivým povrchem (dle ČSN ISO 1996-2:2018)

4. NEJVYŠŠÍ PŘÍPUSTNÉ LIMITY

Ve smyslu Nařízení vlády č. 272/2011 Sb., o ochraně zdraví před nepříznivými účinky hluku a vibrací, ve znění pozdějších předpisů, se hygienický limit hluku v ekvivalentní hladině akustického tlaku A v chráněném venkovním prostoru staveb a v chráněném venkovním prostoru (s výjimkou hluku z leteckého provozu a vysokofrekvenčního impulsního hluku) stanoví součtem základní hladiny akustického tlaku $L_{Aeq,T} = 50$ dB a korekce přihlížející ke druhu chráněného prostoru staveb a denní a noční době dle tabulky č. 1 části A přílohy č. 3 k tomuto nařízení vlády.

Tab. č. 1: Korekce pro stanovení hygienických limitů hluku dle NV č. 272/2011 Sb., ve znění pozd. předpisů

Způsob využití území	Korekce [dB]			
	1)	2)	3)	4)
Chráněný venkovní prostor staveb lůžkových zdravotnických zařízení včetně lání	-5	0	+5	+15
Chráněný venkovní prostor lůžkových zdravotnických zařízení včetně lání	0	0	+5	+15
Chráněný venkovní prostor ostatních staveb a chráněný ostatní venkovní prostor	0	+5	+10	+20

Pozn.: Korekce uvedené v tabulce se nesčítají.

Pro noční dobu se pro chráněný venkovní prostor staveb přičítá další korekce -10 dB, s výjimkou hluku z dopravy na železničních drahách, kde se použije korekce -5 dB.

- 1) Použije se pro hluk z provozu stacionárních zdrojů hluku (a hluk ze železničních stanic zajišťujících vlakové práce, zejména rozřadování a sestavu nákladních vlaků, prohlídku vlaků a opravy vozů. Pro hluk ze železničních stanic zajišťujících vlakové práce, které byly uvedeny do provozu přede dnem 1. listopadu 2011, se přičítá pro noční dobu další korekce $+5$ dB.
(pozn.: Stacionárními zdroji hluku se rozumí stavby, objekty, provozovny a areály sloužící k průmyslové výrobě, obchodní a administrativní činnosti a službám, včetně dopravy v těchto areálech.)
- 2) Použije se pro hluk z dopravy na drahách, silnicích III. třídy, místních komunikacích III. třídy a účelových komunikacích ve smyslu § 7 odst. 1 zákona č. 13/1997 Sb., o pozemních komunikacích, ve znění pozdějších předpisů.
- 3) Použije se pro hluk z dopravy na dálnicích, silnicích I. a II. třídy a místních komunikacích I. a II. třídy v území, kde hluk z dopravy na těchto komunikacích je převažující nad hlukem z dopravy na ostatních pozemních komunikacích. Použije se pro hluk z dopravy na drahách v ochranném pásmu dráhy.
- 4) Použije se pro stanovení hodnoty hygienického limitu staré hlukové zátěže.

Dle § 12 odst. 3 v případě hluku s tónovými složkami, s výjimkou hluku z dopravy na pozemních komunikacích, drahách a z leteckého provozu, se přičte další korekce -5 dB. Pro vysoce impulsní hluk se přičte další korekce -12 dB.

Pozn.: Za hluk s tónovými složkami se považuje hluk, v jehož kmitočtovém spektru je hladina akustického tlaku v třetinooktávovém pásmu, případně i ve dvou bezprostředně sousedících třetinooktávových pásmech, o více než 5 dB vyšší než hladina akustického tlaku v obou sousedních třetinooktávových pásmech a v pásmu kmitočtu 10 Hz až 160 Hz je ekvivalentní hladina akustického tlaku v tomto třetinooktávovém pásmu $L_{Aeq,T}$ vyšší než hladina prahu slyšení stanovená pro kmitočtové pásmo podle tabulky v příloze č. 1 k Nařízení vlády č. 272/2011 Sb., ve znění pozdějších předpisů. Hlukem s tónovými složkami je vždy hudba nebo zpěv.

5. ZKRATKY

$L_{Aeq,T}$	- ekvivalentní hladina ak. tlaku A při časovém vážení F za dobu měření T
L_{Amin}	- minimální hladina akustického tlaku A při časovém vážení F
L_{Amax}	- maximální hladina akustického tlaku A při časovém vážení F
L_{Amaxp}	- maximální špičková hladina akustického tlaku A při časovém vážení F
L_{A1-99}	- hladina ak. tlaku A překročená 1-99 % doby měření při časovém vážení F
RD	- rodinný dům

6. PŘEPOČET NA RPD

Přepočtené naměřené hodnoty $L_{Aeq,T}$ v CHVPs na intenzity přepočtené na RPD

Komunikace II. třídy č. 299

Datum měření hluku a sčítání dopravy: od 06⁰⁰ h dne 3. 4. 2019 do 06⁰⁰ h dne 4. 4. 2019 (ze středy na čtvrtek) – TAB. 14, 15, 17 a od 22⁰⁰ h dne 15. 4. 2019 do 22⁰⁰ h dne 16. 4. 2019 (z pondělí na úterý) – TAB. 16, 18, 19

Doba průzkumu: 24 hodin

A/1) Hodnoty získané z dopravního průzkumu a měření hluku

TAB 14 Výsledky dopravního průzkumu na silnici II/299 v blízkost RD č.p. 83, Librantice (viz str. 5 protokolu z měření), **měřící místo č. 1**

	Skupina vozidel				
	osobní	nákladní	nákladní s návěsem	autobusy	motocykly
Intenzita dopravy v době měření hluku za 24 hodin	1834	239	59	28	21
Denní doba (6:00 – 22:00 hod)	1743	228	54	24	21
Noční doba (22:00 – 6:00 hod)	91	11	5	4	0

Výsledné naměřené hodnoty $L_{Aeq,T}$ po uplatnění korekcí (viz str. 14 a 15 protokolu z měření)

Denní doba (06:00 – 22:00 hod) ... $L_{Aeq,16h} = 57,8 \text{ dB} \pm 1,7 \text{ dB}$

Noční doba (22:00 – 06:00 hod) ... $L_{Aeq,8h} = 47,3 \text{ dB} \pm 1,7 \text{ dB}$

A/2) Hodnoty získané z dopravního průzkumu a měření hluku

TAB 15 Výsledky dopravního průzkumu na silnici II/299 v blízkost RD č.p. 58, Librantice (viz str. 5 protokolu z měření), **měřící místo č. 2**

	Skupina vozidel				
	osobní	nákladní	nákladní s návěsem	autobusy	motocykly
Intenzita dopravy v době měření hluku za 24 hodin	1399	181	86	0	14
Denní doba (6:00 – 22:00 hod)	1316	173	81	0	14
Noční doba (22:00 – 6:00 hod)	83	8	5	0	0

Výsledné naměřené hodnoty $L_{Aeq,T}$ po uplatnění korekcí (viz str. 14 a 15 protokolu z měření)

Denní doba (06:00 – 22:00 hod) ... $L_{Aeq,16h} = 56,3 \text{ dB} \pm 1,7 \text{ dB}$

Noční doba (22:00 – 06:00 hod) ... $L_{Aeq,8h} = 45,9 \text{ dB} \pm 1,7 \text{ dB}$

A/3) Hodnoty získané z dopravního průzkumu a měření hluku

TAB 16 Výsledky dopravního průzkumu na silnici II/299 v blízkost RD č.p. 117, Výrava (viz str. 6 protokolu z měření), **měřicí místo č. 3**

	Skupina vozidel				
	osobní	nákladní	nákladní s návěsem	autobusy	motocykly
Intenzita dopravy v době měření hluku za 24 hodin	1494	157	74	0	14
Denní doba (6:00 – 22:00 hod)	1411	151	70	0	14
Noční doba (22:00 – 6:00 hod)	83	6	4	0	0

Výsledné naměřené hodnot $L_{Aeq,T}$ po uplatnění korekcí (viz str. 14 a 15 protokolu z měření)

Denní doba (06:00 – 22:00 hod) ... $L_{Aeq,16h} = 54,1 \text{ dB} \pm 1,7 \text{ dB}$

Noční doba (22:00 – 06:00 hod) ... $L_{Aeq,8h} = 41,9 \text{ dB} \pm 1,7 \text{ dB}$

A/4) Hodnoty získané z dopravního průzkumu a měření hluku

TAB 17 Výsledky dopravního průzkumu na silnici II/299 v blízkost RD č.p. 95, Libřice (viz str. 6 protokolu z měření), **měřicí místo č. 4**

	Skupina vozidel				
	osobní	nákladní	nákladní s návěsem	autobusy	motocykly
Intenzita dopravy v době měření hluku za 24 hodin	1518	361	152	23	15
Denní doba (6:00 – 22:00 hod)	1445	347	145	19	15
Noční doba (22:00 – 6:00 hod)	73	14	7	4	0

Výsledné naměřené hodnot $L_{Aeq,T}$ po uplatnění korekcí (viz str. 14 a 15 protokolu z měření)

Denní doba (06:00 – 22:00 hod) ... $L_{Aeq,16h} = 57,3 \text{ dB} \pm 1,7 \text{ dB}$

Noční doba (22:00 – 06:00 hod) ... $L_{Aeq,8h} = 46,3 \text{ dB} \pm 1,7 \text{ dB}$

A/5) Hodnoty získané z dopravního průzkumu a měření hluku

TAB 18 Výsledky dopravního průzkumu na silnici II/299 v blízkost RD č.p. 74, Libřice (viz str. 6 protokolu z měření), **měřicí místo č. 5**

	Skupina vozidel				
	osobní	nákladní	nákladní s návěsem	autobusy	motocykly
Intenzita dopravy v době měření hluku za 24 hodin	2334	391	284	0	28
Denní doba (6:00 – 22:00 hod)	2202	368	267	0	28
Noční doba (22:00 – 6:00 hod)	132	23	17	0	0

Výsledné naměřené hodnot $L_{Aeq,T}$ po uplatnění korekcí (viz str. 14 a 15 protokolu z měření)

Denní doba (06:00 – 22:00 hod) ... $L_{Aeq,16h} = 61,5 \text{ dB} \pm 1,7 \text{ dB}$

Noční doba (22:00 – 06:00 hod) ... $L_{Aeq,8h} = 47,6 \text{ dB} \pm 1,7 \text{ dB}$

A/6) Hodnoty získané z dopravního průzkumu

TAB 19 Výsledky dopravního průzkumu na silnici II/299 v úseku Librantice – Výrava (viz str. 5 protokolu z měření), **úsek mezi měřicím místem č. 2 a 3**

	Skupina vozidel				
	osobní	nákladní	nákladní s návěsem	autobusy	motocykly
Intenzita dopravy v době měření hluku za 24 hodin	1438	172	92	0	14
Denní doba (6:00 – 22:00 hod)	1365	164	87	0	14
Noční doba (22:00 – 6:00 hod)	73	8	5	0	0

B/1) Přepočet intenzit dopravy – měřicí místo č. 1

TAB 20 Výsledek výpočtu intenzit RPDl z dopravního průzkumu dle TP, II. vydání (6. 6. 2012)

		Skupina vozidel				
		osobní	nákladní	nákladní s návěsem	autobusy	motocykly
Denní intenzita (v den průzkumu)	$I_d [\text{voz/den}]$	1834	239	59	28	21
Přepočtový koeficient týdenních variací	$K_{d,t}$	105,8	123,2	128,4	118,8	93,9
Týdenní průměr denních intenzit	$I_t [\text{voz/den}]$	1733	194	46	24	22
Přepočtový koeficient ročních variací	$K_{d,t}$	102,0	106,9	105,2	102,5	179,3
Roční průměr denních intenzit RPDl	$I_t [\text{voz/den}]$	1699	181	44	23	12
Denní doba (6:00 – 22:00 hod)		1586	165	39	19	10
Noční doba (22:00 – 6:00 hod)		113	16	5	4	2

B/2) Přepočet intenzit dopravy – měřicí místo č. 2

TAB 21 Výsledek výpočtu intenzit RPDl z dopravního průzkumu dle TP, II. vydání (6. 6. 2012)

		Skupina vozidel				
		osobní	nákladní	nákladní s návěsem	autobusy	motocykly
Denní intenzita (v den průzkumu)	<u>I_d [voz/den]</u>	1399	181	86	0	14
Přepočtový koeficient týdenních variací	<u>$K_{d,t}$</u>	105,8	123,2	128,4	118,8	93,9
Týdenní průměr denních intenzit	<u>I_t [voz/den]</u>	1322	147	67	0	15
Přepočtový koeficient ročních variací	<u>$K_{d,t}$</u>	102,0	106,9	105,2	102,5	179,3
Roční průměr denních intenzit RPDl	<u>I_t [voz/den]</u>	1296	137	64	0	8
<i>Denní doba (6:00 – 22:00 hod)</i>		1207	125	57	0	6
<i>Noční doba (22:00 – 6:00 hod)</i>		89	12	7	0	2

B/3) Přepočet intenzit dopravy – měřicí místo č. 3

TAB 22 Výsledek výpočtu intenzit RPDl z dopravního průzkumu dle TP, II. vydání (6. 6. 2012)

		Skupina vozidel				
		osobní	nákladní	nákladní s návěsem	autobusy	motocykly
Denní intenzita (v den průzkumu)	<u>I_d [voz/den]</u>	1494	157	74	0	14
Přepočtový koeficient týdenních variací	<u>$K_{d,t}$</u>	105,8	123,2	128,4	118,8	93,9
Týdenní průměr denních intenzit	<u>I_t [voz/den]</u>	1412	127	58	0	15
Přepočtový koeficient ročních variací	<u>$K_{d,t}$</u>	102,0	106,9	105,2	102,5	179,3
Roční průměr denních intenzit RPDl	<u>I_t [voz/den]</u>	1348	119	55	0	8
<i>Denní doba (6:00 – 22:00 hod)</i>		1258	108	49	0	6
<i>Noční doba (22:00 – 6:00 hod)</i>		90	11	6	0	2

B/4) Přepoččet intenzit dopravy – měřicí místo č. 4

TAB 23 Výsledek výpočtu intenzit RPDl z dopravního průzkumu dle TP, II. vydání (6. 6. 2012)

		Skupina vozidel				
		osobní	nákladní	nákladní s návěsem	autobusy	motocykly
Denní intenzita (v den průzkumu)	<u>I_d [voz/den]</u>	1518	361	152	23	15
Přepočtový koeficient týdenních variací	<u>$K_{d,t}$</u>	103,9	120,7	126,0	112,1	83,3
Týdenní průměr denních intenzit	<u>I_t [voz/den]</u>	1461	299	121	21	18
Přepočtový koeficient ročních variací	<u>$K_{d,t}$</u>	102,0	106,9	105,2	102,5	179,3
Roční průměr denních intenzit RPDl	<u>I_t [voz/den]</u>	1432	280	115	20	10
<i>Denní doba (6:00 – 22:00 hod)</i>		1322	252	102	17	9
<i>Noční doba (22:00 – 6:00 hod)</i>		110	28	13	3	1

B/5) Přepoččet intenzit dopravy – měřicí místo č. 5

TAB 24 Výsledek výpočtu intenzit RPDl z dopravního průzkumu dle TP, II. vydání (6. 6. 2012)

		Skupina vozidel				
		osobní	nákladní	nákladní s návěsem	autobusy	motocykly
Denní intenzita (v den průzkumu)	<u>I_d [voz/den]</u>	2334	391	284	0	28
Přepočtový koeficient týdenních variací	<u>$K_{d,t}$</u>	103,9	120,7	126,0	112,1	83,3
Týdenní průměr denních intenzit	<u>I_t [voz/den]</u>	2246	324	225	0	34
Přepočtový koeficient ročních variací	<u>$K_{d,t}$</u>	102,0	106,9	105,2	102,5	179,3
Roční průměr denních intenzit RPDl	<u>I_t [voz/den]</u>	2202	303	214	0	19
<i>Denní doba (6:00 – 22:00 hod)</i>		2043	279	195	0	16
<i>Noční doba (22:00 – 6:00 hod)</i>		159	24	19	0	3

B/6) Přepoččet intenzit dopravy – úsek mezi měřicím místem č. 2 a 3

TAB 25 Výsledek výpočtu intenzit RPDl z dopravního průzkumu dle TP, II. vydání (6. 6. 2012)

		Skupina vozidel				
		osobní	nákladní	nákladní s návěsem	autobusy	motocykly
Denní intenzita (v den průzkumu)	I_d [voz/den]	1438	172	92	0	14
Přepočtový koeficient týdenních variací	$K_{d,t}$	103,9	120,7	126,0	112,1	83,3
Týdenní průměr denních intenzit	I_t [voz/den]	1384	143	73	0	17
Přepočtový koeficient ročních variací	$K_{d,t}$	102,0	106,9	105,2	102,5	179,3
Roční průměr denních intenzit RPDl	I_t [voz/den]	1357	133	69	0	9
Denní doba (6:00 – 22:00 hod)		1265	121	62	0	7
Noční doba (22:00 – 6:00 hod)		92	12	7	0	2

Dle „Stanovení intenzit dopravy na pozemních komunikacích, Technické podmínky, II. vydání (6. 6. 2012)“ je výsledek výpočtu RPDl z dopravního průzkumu délky více jak 16 hodin stanoven s chybou menší než 7%.

C/1) Přepoččet výsledných hodnot $L_{Aeq,T}$

Pro výpočty hluku byl použit výpočtový program HLUK+, verze 12.52 Profi12X, který umožňuje výpočet hluku ve venkovním prostředí generovaného dopravními i průmyslovými zdroji hluku v území.

Přepočtené hodnoty $L_{Aeq,T}$ na RPDl ve stávajícím chráněném venkovním prostoru stavby RD č.p. 83, 503 46 Librantice – 2 m od západní fasády směrem ke zdroji hluku (silnice II/299) jsou následující:

Denní doba (6:00 – 22:00 hod) ... $L_{Aeq,16h} = 57,0 \text{ dB} \pm 1,7 \text{ dB}$

Noční doba (22:00 – 6:00 hod) ... $L_{Aeq,8h} = 47,5 \text{ dB} \pm 1,7 \text{ dB}$

C/2) Přepoččet výsledných hodnot $L_{Aeq,T}$

Pro výpočty hluku byl použit výpočtový program HLUK+, verze 12.52 Profi12X, který umožňuje výpočet hluku ve venkovním prostředí generovaného dopravními i průmyslovými zdroji hluku v území.

Přepočtené hodnoty $L_{Aeq,T}$ na RPDl ve stávajícím chráněném venkovním prostoru stavby RD č.p. 58, 503 46 Librantice – 2 m od západní fasády směrem ke zdroji hluku (silnice II/299) jsou následující:

Denní doba (6:00 – 22:00 hod) ... $L_{Aeq,16h} = 55,9 \text{ dB} \pm 1,7 \text{ dB}$

Noční doba (22:00 – 6:00 hod) ... $L_{Aeq,8h} = 46,4 \text{ dB} \pm 1,7 \text{ dB}$

C/3) Přepočítání výsledných hodnot $L_{Aeq,T}$

Pro výpočty hluku byl použit výpočtový program HLUK+, verze 12.52 Profi12X, který umožňuje výpočet hluku ve venkovním prostředí generovaného dopravními i průmyslovými zdroji hluku v území.

Přepočtené hodnoty $L_{Aeq,T}$ na RPDI ve stávajícím chráněném venkovním prostoru stavby RD č.p. 117, 503 03 Výrava – 2 m od jihovýchodní fasády směrem ke zdroji hluku (silnice II/299) jsou následující:

Denní doba (6:00 – 22:00 hod) ... $L_{Aeq,16h} = 53,7 \text{ dB} \pm 1,7 \text{ dB}$

Noční doba (22:00 – 6:00 hod) ... $L_{Aeq,8h} = 42,6 \text{ dB} \pm 1,7 \text{ dB}$

C/4) Přepočítání výsledných hodnot $L_{Aeq,T}$

Pro výpočty hluku byl použit výpočtový program HLUK+, verze 12.52 Profi12X, který umožňuje výpočet hluku ve venkovním prostředí generovaného dopravními i průmyslovými zdroji hluku v území.

Přepočtené hodnoty $L_{Aeq,T}$ na RPDI ve stávajícím chráněném venkovním prostoru stavby RD č.p. 95, 503 44 Libřice – 2 m od východní fasády směrem ke zdroji hluku (silnice II/299) jsou následující:

Denní doba (6:00 – 22:00 hod) ... $L_{Aeq,16h} = 56,4 \text{ dB} \pm 1,7 \text{ dB}$

Noční doba (22:00 – 6:00 hod) ... $L_{Aeq,8h} = 48,1 \text{ dB} \pm 1,7 \text{ dB}$

C/5) Přepočítání výsledných hodnot $L_{Aeq,T}$

Pro výpočty hluku byl použit výpočtový program HLUK+, verze 12.52 Profi12X, který umožňuje výpočet hluku ve venkovním prostředí generovaného dopravními i průmyslovými zdroji hluku v území.

Přepočtené hodnoty $L_{Aeq,T}$ na RPDI ve stávajícím chráněném venkovním prostoru stavby RD č.p. 74, 503 44 Libřice – 2 m od západní fasády směrem ke zdroji hluku (silnice II/299) jsou následující:

Denní doba (6:00 – 22:00 hod) ... $L_{Aeq,16h} = 61,2 \text{ dB} \pm 1,7 \text{ dB}$

Noční doba (22:00 – 6:00 hod) ... $L_{Aeq,8h} = 47,3 \text{ dB} \pm 1,7 \text{ dB}$

C/6) Přepočítání výsledných hodnot $L_{Aeq,T}$

Pro výpočty hluku byl použit výpočtový program HLUK+, verze 12.52 Profi12X, který umožňuje výpočet hluku ve venkovním prostředí generovaného dopravními i průmyslovými zdroji hluku v území.

Přepočtené hodnoty $L_{Aeq,T}$ na RPDI ve stávajícím chráněném venkovním prostoru stavby RD č.p. 15, 503 03 Dolní Černilov – 2 m od východní fasády směrem ke zdroji hluku (silnice II/299) jsou následující:

Denní doba (6:00 – 22:00 hod) ... $L_{Aeq,16h} = 55,1 \text{ dB} \pm 3,0 \text{ dB}$

Noční doba (22:00 – 6:00 hod) ... $L_{Aeq,8h} = 46,5 \text{ dB} \pm 3,0 \text{ dB}$

7. ZÁVĚR

Hodnocení se provádí porovnáním naměřených hodnot s hodnotami požadovanými v nařízení vlády č. 272/2011 Sb., ve znění pozdějších předpisů. Konečné posouzení přísluší místně příslušnému územnímu pracovišti krajské hygienické stanice.

Výsledky měření se týkají pouze naměřených hladin akustického tlaku A na výše popsaných místech, měření bylo provedeno formou kontinuálního měření po dobu 24 h za výše uvedených podmínek.

Příloha č. 1 – Hodnocení výsledků měření po přepočtení na RPD1**Denní doba**

Měřicí místo	L_{Aeq,16h} [dB] po odečtení nejistoty měření	Hygienický limit hluku L _{Aeq,16h} [dB]	Vyhodnocení výsledku měření ve vztahu k hygienickému limitu hluku
1	55,3	60,0	limit nebyl překročen
2	54,2	60,0	limit nebyl překročen
3	52,0	60,0	limit nebyl překročen
4	54,7	60,0	limit nebyl překročen
5	59,5	60,0	limit nebyl překročen
6	58,1^{*)}	60,0	limit nebyl překročen

Noční doba

Měřicí místo	L_{Aeq,8h} [dB] po odečtení nejistoty měření	Hygienický limit hluku L _{Aeq,8h} [dB]	Vyhodnocení výsledku měření ve vztahu k hygienickému limitu hluku
1	45,8	50,0	limit nebyl překročen
2	44,7	50,0	limit nebyl překročen
3	40,9	50,0	limit nebyl překročen
4	46,4	50,0	limit nebyl překročen
5	45,6	50,0	limit nebyl překročen
6	49,5^{*)}	50,0	limit nebyl překročen

^{*)} Hodnota včetně přičtené nejistoty výpočtu (± 3db)

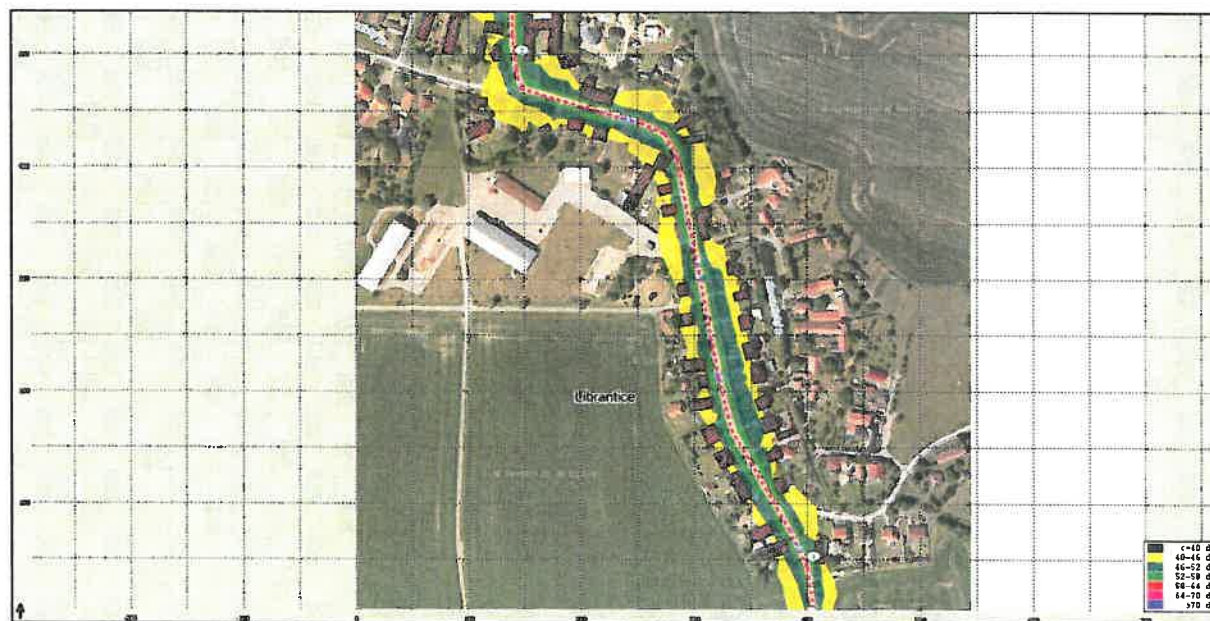
Konečné posouzení přísluší místně příslušnému územnímu pracovišti krajské hygienické stanice.

Příloha č. 2 – Hluková mapa lokality

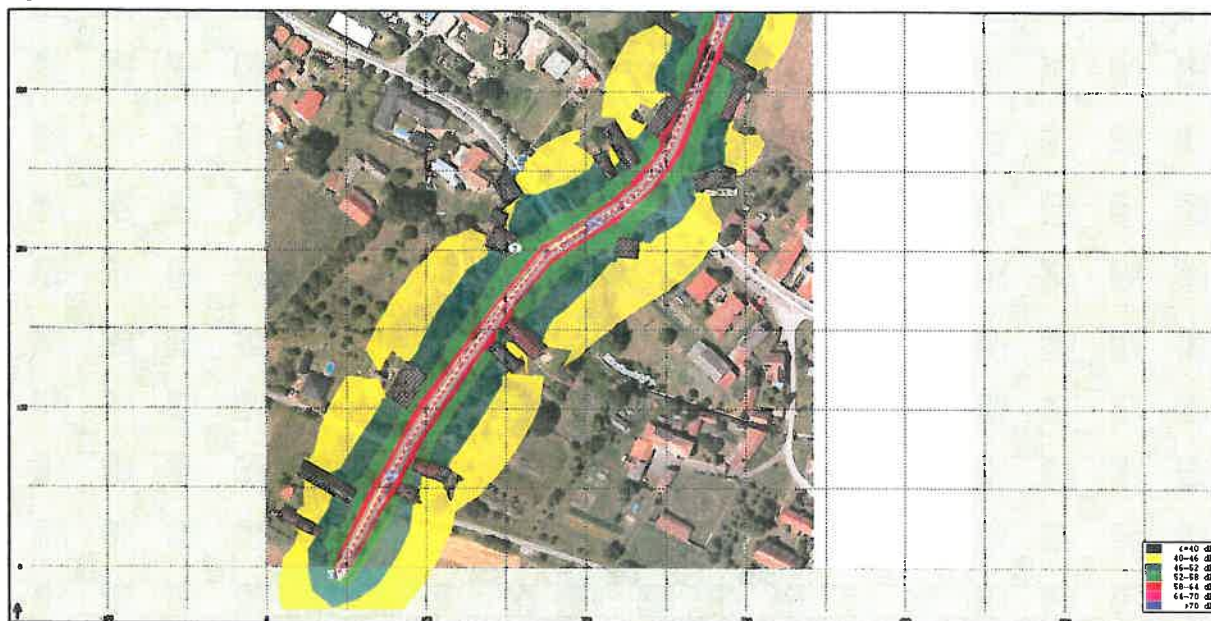
hluková mapa lokality – zobrazení hlukových pásem a izofon, výška 3,0 m nad terénem -
Librantice - den



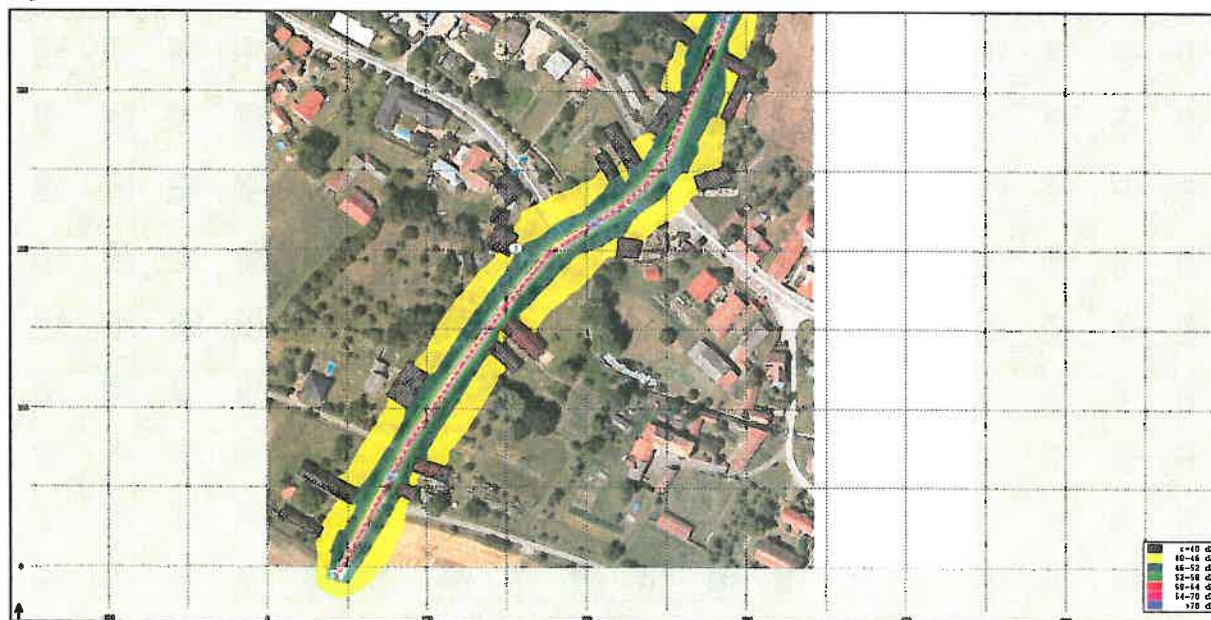
hluková mapa lokality – zobrazení hlukových pásem a izofon, výška 3,0 m nad terénem -
Librantice - noc



hluková mapa lokality – zobrazení hlukových pásem a izofon, výška 3,0 m nad terénem -
Výrava - den



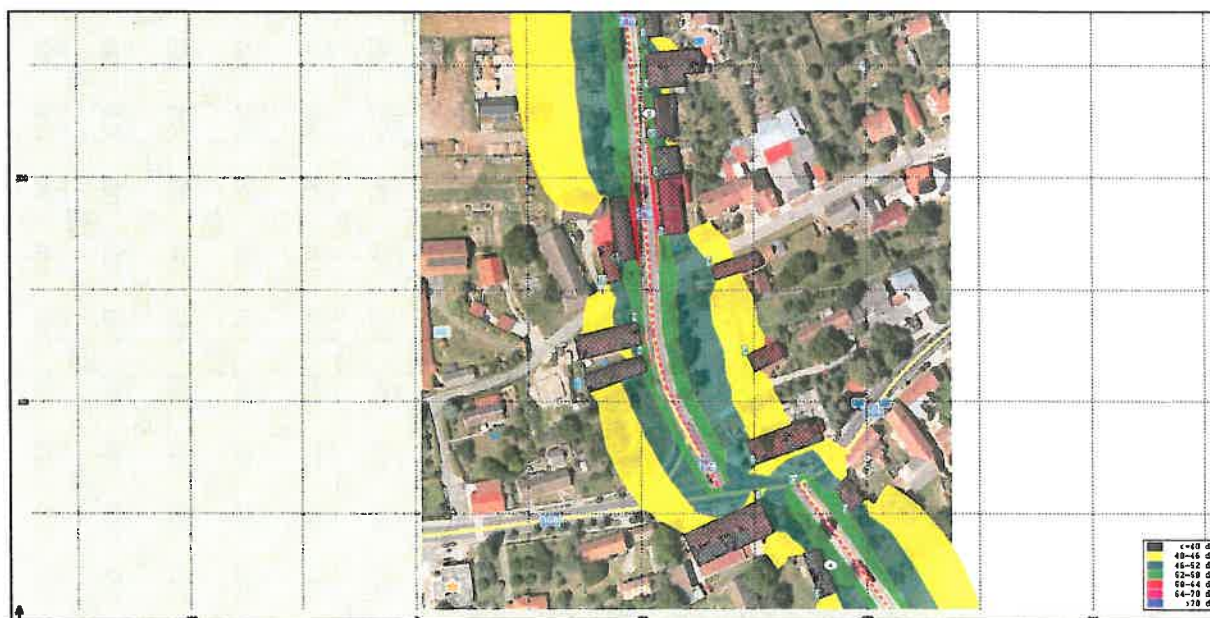
hluková mapa lokality – zobrazení hlukových pásem a izofon, výška 3,0 m nad terénem -
Výrava - noc



hluková mapa lokality – zobrazení hlukových pásem a izofon, výška 3,0 m nad terénem -
Libřice - den



hluková mapa lokality – zobrazení hlukových pásem a izofon, výška 3,0 m nad terénem –
Libřice - noc



hluková mapa lokality – zobrazení hlukových pásem a izofon, výška 3,0 m nad terénem -
Dolní Černilov – den



hluková mapa lokality – zobrazení hlukových pásem a izofon, výška 3,0 m nad terénem -
Dolní Černilov - noc

